

دراسة نسجية مرضية لسرطانة الغدة اللبنية المغروسة في إناث الفئران البيض

نور إبراهيم عبد الزهرة شُبَّر *
أحمد حميد العزام ** جمِيل جري الحميداوي ***

* كلية التربية للبنات، جامعة الكوفة

** كلية الطب البيطري، جامعة الكوفة

*** كلية التربية للبنات، جامعة الكوفة

E-mail: nh_bio2012@yahoo.com

الخلاصة :

أجريت الدراسة الحالية للمدة من تشرين الأول / 2012 ولغاية آب / 2013 في كلية الطب البيطري / جامعة الكوفة هدفت الدراسة إلى متابعة التغيرات النسجية في منطقة الغرس لإناث الفئران البيض المغروسة بسرطانة الغدة اللبنية AM3.

وقد تضمنت الدراسة استخدام (40) أنثى فأر بعمر (6-8) أسبوع وبمعدل وزن (25) غرام غُربست بسرطانة الغدة اللبنية الفاري AM3 في المنطقة الفخذية الظهرية صعوداً للمنطقة العنقية ، إذ ظهر الورم في (28) فارة . قُسمت إلى أربع مجامي كل مجموعة تضم سبعة فئران . خضعت فئران المجموعة الأولى إلى الإختبارات بعد (48) ساعة من الغرس أما المجموعة الثانية بعد (10) أيام من الغرس والمجموعة الثالثة بعد (20) يوم من الغرس وأخيراً المجموعة الرابعة بعد (30) يوم من الغرس . لقد أظهر الفحص العياني للحيوانات في المجاميع المختلفة إن الورم نَمَى على شكل بروز غير منتظم الحدود مع تساقط شعر وتقرح الجلد المغطى يصاحبها وجود إفرازات لمادة حلبية اللون .

أظهر التشريح المرضي لكتلة الورم وجود فصيصات صغيرة ذات ألوان متباينة فضلاً عن وجود نسيج ليفي محاط بكلة الورم ومقسماً لها ويزداد في سماكة مع تقدم عمر الورم كما لوحظ مناطق واسعة من التixer في مركز الكتلة . دلت نتائج الفحص المجهي النسيجي لكتلة الورم في المجموعة الأولى على وجود تجمعات صغيرة من الخلايا الورمية تحت الجلد في منطقة الغرس مع تجمع الخلايا الورمية وكذلك إرتشاح الخلايا المناعية وخصوصاً العدلات ، أما المجموعة الثانية فقد أظهرت وجود جزر من خلايا ورمية وإن كتلة الورم مقسمة بواسطة حاجز ليفية إلى فصيصات مع غزاره الأوعية الدموية وإحقانها وكذلك ظهور تفاعل مناعي ضمن كتلة الورم نتيجة إرتشاح الخلايا اللمفية وخصوصاً المفوسيات وإن الخلايا الورمية تترتب بشكل أشرطة وأسناخ تكون ذات أحجام مختلفة تتميز بتباين أشكالها وفرط الصبغين وزيادة في حجم النواة نسبة للهبيولي كما لوحظ الشكل الإنسطاري ، أما نتائج المجموعة الثالثة فقد أظهرت زيادة في كمية النسيج الليفي وكذلك وجود مناطق واسعة من التixer وفقدان الشكل العام ، وقد بيّنت نتائج المجموعة الرابعة زيادة كبيرة وتغليظ في النسيج الليفي داخل الكتلة وإتساع مناطق التixer وإنحسار النسيج الورمي وكذلك وجود تجاويف تحوي على بقايا خلايا ميتة وزيادة الفضلات الخلوية الحاوية على الخلايا الإنثائية الميتة .

الكلمات المفتاحية: (AM3) - مجيد (2003) ، سرطانة الغدة اللبنية ، إناث الفئران البيض.

Histological study for murine mammary adenocarcinoma implanted in female Albino mice

Noor Ibrahim Abdulzahra Shubbar *

Ahmed Hameed Al-Dabhawi ** Jameel Jerri Al-Hameedawi ***

*College of Education for Girls, kufa University

**College of Veterinary Medicine, kufa University

***College of Education for Girls, kufa University

Abstract:

The current study was carried out in University of Kufa/ College of Veterinary Medicine during the period extending between October 2012 and August 2013, The aim of present study to follow the histological changes of growing tumor in female albino mice which were injected with cells of murine mammary adenocarcinoma AM3.

The study included use of (40) females albino mice at age (6-8) weeks ,(25)g weight average . All mice were injected by cells of murine mammary adenocarcinoman (AM3) in subcutaneous of femoro – dorsal region , and ascending to cervical region.

The tumor was successfully implanted into (28) mice .These mice divided into four groups , each contains seven tumor-bearing mice . The animals of the first group subjected to the investigations after (48) hrs from implantation , while those of (2nd,3rd), and (4th) groups after 10,20,30 days respectively .

The gross examination of the animals of different groups showed that the tumor grew as irregular projection with loss of hair and erosion of overlying skin with milky discharge.

The post-mortem examination revealed that the tumor mass was divided into small lobules with various coloures and the tumor mass surrounded by fibrous tissue which increase in thickness as the tumor increased in the age . Extensive areas of necrosis were noticed in the centers of the tumor masses .

The microscopic examination of tumor masses in the first group revealed there were sub cataneous small aggregation of tumor cells at the implantation region as well as dispersion of the implanted tumor cells .The inflammatory cells ,especially neutrophils were infiltrated .

In the second group ,the tumor masses showed lobulation by fibrous septa with proliferation of new blood vessels with congestion of them. Infiltration of inflammatory cells , particularly the lymphocytes .

The tumor cells arranged as ribbons and acini ,characterized by hyperchromacia pleomorphism , high N/C ratio as well as appearance of mitotic figures .

The histological features of the third group revealed increase in the fibrous tissue with extensive necrotic areas and loss of architecture , these appeared in the fourth group in addition to the presence of cellular debris with dead inflammatory cells.

Keywords : AM3 , murine mammary adenocarcinoma ,female Albino mice.

المقدمة:

بصورة عامة وفي الشرق المتوسط والعراق بصورة خاصة ، حيث تبلغ نسبة الإصابة به (23%) من مجموع السرطانات التي تصيب بها المرأة في العالم ، وعلى الرغم من اعتقاد البعض أن ذلك السرطان هو من أمراض العالم المتقدم ، إلا أنَّ معظم الوفيات الناجمة عنه (69 %) تحدث في البلدان النامية (6) . كما أن معدلاتبقاء مرضى سرطان الثدي على قيد الحياة تتراوح بين (80%) أو أكثر في أمريكا الشمالية والسويد واليابان ، و(60%) في البلدان المتوسطة الدخل ، وأقل من (40%) في البلدان المنخفضة الدخل ، يشكل سرطان الثدي في العراق حوالي ثلث نسبة السرطانات التي أصيبت بها المرأة العراقية (32 %) وفقاً لما هو مدون في سجل السرطان العراقي الأخير الذي يُبيّن أن سرطان الثدي يحتل المرتبة الأولى بين السرطانات التي تصيب بها المرأة العراقية (7) ان الهدف من هذه الدراسة هو متابعة

يُعد مرض السرطان مشكلة صحية كبيرة تواجه المجتمعات العالمية بشكل عام ، كما إنه أحد أسباب زيادة حالات الوفيات بين الأشخاص لأنَّه لا يُحدد عند عضو معين لكنه سرعان ما ينتشر إلى العديد من أعضاء الجسم ومن ثم يؤدي إلى الوفاة (2,1). وطبقاً لدراسة أجرتها المنظمة الأمريكية للسرطان (3) فإن نسبة الوفيات في العالم بسبب السرطان تُقدر بـ (3-2 %) أي وفاة ما يقارب 3500 شخص سنوياً . وحدثت نحو (70%) من مجمل وفيات السرطان في البلدان المنخفضة الدخل والبلدان المتوسطة الدخل . ومن المتوقع أن يزداد ارتفاع عدد الوفيات الناجمة عن السرطان على الصعيد العالمي ، وأن تناهز (13,1) مليون وفاة في عام 2030 (4) . ومن السرطانات الأكثر شيوعاً هي سرطان الرئة والكبد والقولون والمستقيم والثدي والمبيض والبروستات والتي تسبب أكثر من حالة وفاة سنوياً (5) . ويُعد سرطان الثدي من أكثر السرطانات شيوعاً عند الإناث في العالم

يتراوح سُمكُها واحد ملمتر لتوضع في علبات بلاستيكية صغيرة cassettes ثم توضع هذه العلبات في سلة معدنية basket نضعها بجهاز التمرير الآوتوماتيكي الذي يغير موقع هذه السلة آوتوماتيكيًا من دورق إلى آخر وتكون الخطوات كالتالي :

أ- إزالة جزيئات الماء Dehydration :-
إزالة جزيئات الماء من النسيج عن طريق زيادة تراكيز كحول الإيثانول (100%,100%,95%, 90%,85%,70%) لمدة ساعتين لكل تركيز .

ب- الترويق Clearing :-
ونقصد به ترويق النسيج من الكحول بواسطة الزايلين Xylene الذي يكون في دورفين كل دورق لمدة ساعتين .

ت- الترشيح Impregnation :-
وهي آخر خطوة يتم بواسطة إمرار العينة بدورفين كل دورق يحيى على شمع البارافين لمدة ساعتين لكل دورق وتكون درجة حرارته (56-58°C) .

ث- الطمر Embedding :-
وتمت بواسطة جهاز الطمر Embedding Center بعد إخراج العينات من جهاز التمرير في صباح اليوم التالي نضع العلبات البلاستيكية في جهاز الطمر ونصب فوقها البارافين آوتوماتيكيًا إلى أن يغمر العينة حيث يشكل طبقة أو قالب متوازي من جميع الجوانب ثم نضع هذه القوالب على منطقة التجميد الصغيرة في الجهاز لكي تتصلب القوالب .

ج- القطع Cutting :-
تم بواسطة جهاز القطع الدوار Rotary Microtome تم قطع النسيج إلى مقاطع ذات سُمك (5 - 4 مايكرومتر) ثم ثبّتت هذه المقاطع على شرائح زجاجية نظيفة ثم وضعَت بالفرن بدرجة حرارة 60°C لمدة نصف ساعة لغرض تثبيت النسيج على الشريحة الزجاجية لغرض التصبيغ .

ـ 3 التصبيغ Staining :-
تم تصبيغ المقاطع النسيجية بواسطة صبغة Harris Hematoxylin اذ استعملت هذه الصبغة لتصبيغ النواة باللون الأزرق وصبغة الـ Eosin التي تصبيغ السايتوبلازم باللون الوردي وتكون خطوات التصبيغ كما يلي:

ـ أ- الزايلين Zylene : ثلاثة خطوات كل خطوة دقيقتان وذلك لإزالة شمع البارافين .

ـ ب- الإيثانول Ethanol : ثلاثة خطوات كل خطوة دقيقتان ويكون التدرج بتراكيز كحول الإيثانول تنازليًّا كالتالي (100 , %90 , %70) وذلك لإعادة جزيئات الماء .

ـ ت- التصبيغ Hematoxylin : ويكون لمدة خمس دقائق لكي تتصبغ الأنوية .

التغيرات النسيجية في منطقة الغرس من الأسبوع الأول إلى الأسبوع الخامس بعد الغرس .

المواد وطرق العمل:

غرس سرطان الغدة اللبنية في أناث الفئران البيضاء تمأخذ أثني فآل مصابة بسرطان الغدة اللبنية الفأري Murine Mammary Aadenoma Carcinoma قبل المركز العراقي لبحوث السرطان والوراثة الطبية إذ أخذ الورم من الفأرة المصابة وغرس في (40) فأرة سليمة وحسب الطريقة الآتية :

تم تعقيم سطح كتلة الورم بإستعمال الكحول الأثيلي (70 %) ثم أدخلت إبرة قياس G18 في كتلة الورم ورشفت الخلايا Aspirated (وعمل على تفتيت النسيج السرطاني المسحوب من الفأرة المصابة إلى كتل أصغر ليسهل عملية سحب الخلايا ويتم ذلك عن طريق تحريك الإبرة وهي داخل كتلة الورم في الفأرة المصابة في عدة اتجاهات) وبذلك تم الحصول على كمية ما بين (3 - 5) سم³ ، وبعدها تم سحب الخلايا ونقلها إلى بيكر معقم وفي ظروف معقمة ثم أضيف لهذه الخلايا حجم مساوي من الـ PBS المعقم ثم تترك لمدة 15 دقيقة لأجل ترسب الخلايا والتخلص من حطام الأنسجة والدم و الذي يتجمع في الطبقة الطافية ثم أهملت الطبقة الطافية وبضاف داريء الفوسفات الملحي مرة أخرى بكمية 10 ملليلتر تكفي لحقن 40 فأرة ويسحب محلول الخلايا بواسطة محاذاة طيبة معقمة .

حضرت الفئران **المعدة** للحقن وتعقب **أولاً** المنطقة **المعدة** للحقن **وتحقق** كل فأرة بكمية 0.25 ملليلتر من الخلايا وتم ذلك بإستخدام إبرة قياس G18 وتم الحقن بإدخال الإبرة من المنطقة الفخذية الظهرية وصعوداً إلى المنطقة العنقية (منطقة الغرس) ، وهنا تم حقن الخلايا ثم بعدها عملت ضغطة خفيفة على المنطقة ما قبل العنقية لمنع رجوع العالق الخلوي المحقون والذي قد يخرج من فتحة سحب الإبرة ثم بعد ذلك نراقب الفئران المحقونة فردياً للاحظة تطور حدوث الورم في الفئران المحقونة.

التحضيرات النسيجية:

أخذت كتلة نسيجية صغيرة بأبعاد 1سم×1سم وتم إجراء التحضير ثم الفحص النسيجي و كالتالي:

ـ 1 التثبيت fixation :-

ويتم بواسطة محلول (NBF%10) الذي يحضر عن طريق أضافة 100 ملليلتر فورمالين تركيز (37-40%) إلى في 900 ملليلتر ماء مقطر ثم نضيف 4 غرام أحادي فوسفات الصوديوم مع 6.5 غرام ثاني فوسفات البوتاسيوم لتحضير لتر واحد (8). حيث نضع العينات النسيجية في عبوات بلاستيكية تحتوي على (NBF%10) لمدة ثلاثة أيام .

ـ 2 معاملة النسيج Tissue processing :-

وتم بواسطة سلسلة من الخطوات التي تحدث في جهاز التمرير الآوتوماتيكي Histokinetic حيث عند إخراج العينة من (NBF%10) تقطع إلى قطع صغيرة

في النسيج الليفي تحت الجلد و إن كتلة الورم مقسمة بواسطة حاجز ليفي إلى فصوصات وهذه الفصوصات تضم أشرطة وأسناخ من الخلايا الورمية كما يظهر تكاثر الأوعية الدموية وإحتقان بعضها ضمن كتلة الورم وكذلك ظهر تفاعل التهابي ضمن كتلة الورم نتيجة إرتشاح الخلايا الإلتهابية وخصوصاً خلايا المفوسيات (صورة رقم 3).

إن الخلايا الورمية تترب بشكل أشرطة وأسناخ pleomorphic وتميز هذه الخلايا بتباين أحجامها وتكاثف صبغتها hyperchromatic ووضوح النويات وزيادة نسبة حجم النواة إلى الهيولي كما لوحظ الشكل الإنشطاري mitotic figure وعملية إنسطار بعض الخلايا الورمية وكذلك يظهر أيضاً إرتشاح الخلايا الإلتهابية كالعدلات والخلايا المفاوية كما يلاحظ إحتقان الأوعية الدموية وتكاثرها(صورة رقم 4).

المجموعة الثالثة G3 : أظهر الفحص المجهرى زيادة في كمية النسيج الليفي المحيط لكتلة الورم وإرتشاح ملحوظ للخلايا المفاوية (صورة رقم 5). إن مركز الورم أظهر خلايا ورمية نموذجية الشكل والتي تتصرف بتباين أشكالها وتكاثف صبغتها (صورة رقم 6) ، كما لوحظ وجود منطقة واسعة من التخثر التجلطي خصوصاً في مركز الورم ، حيث تتميز المنطقة بفقدان الهيكل العام Tissue Architecture وتحللها Karyolysis (صورة رقم 7).

المجموعة الرابعة G4 : أظهر المقطع النسيجي لكتلة الورم زيادة كبيرة في النسيج الليفي داخل الكتلة وكذلك إتساع منطقة التخثر وإنحسار النسيج الورمي من أطراف الكتلة وكذلك وجود تجويفٍ واسعٍ يحتوي على بقايا خلايا ميتة نتيجة التخثر ، (صورة رقم 8). وعند دراسة طبيعة النسيج لمركز الورم لوحظ مناطق واسعةً من التخثر وزيادة الفضلات الخلوية Cellular debris والحاوية على خلايا إلتهابية ميتة (صورة رقم 9).

ثـ- الغسل Tap water : لغسل المقاطع النسيجية بالماء لمدة خمس دقائق لتخفيف حدة صبغة الهيماتوكسيلين.

جـ- الغمر وإخراج الشرائح الزجاجية بسرعة Acetic acid بتركيز 1 % وذلك لتخفيف حدة اللون .

حـ- الغسل Tap water : لمدة خمس دقائق أيضاً لإزالة حامض الخليك من المقاطع النسيجية.

خـ- التصبغ Eosin : ويكون لمدة خمس دقائق لكي يتصبغ السايتوبلازم بالصبغة الوردية .

دـ- الإيثانول Ethanol : ثلاثة خطوات كل خطوة تمرير سريع ويكون التدرج بتركيز كحول الإيثانول تصاعدياً (70% 90% 100%) وذلك لإزالة جزيئات الماء من النسيج.

ذـ- الزايلين Zylene : ثلاثة خطوات كل خطوة دقيقتان .

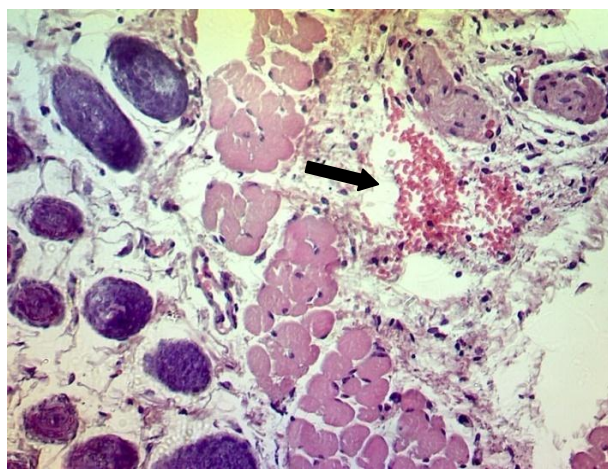
رـ- إضافة مادة DPX إلى الشرائح الزجاجية ثم إزلاق غطاء الشريحة الزجاجية بهدوء لكي يغطي النسيج بالكامل ويمنع حدوث فقاعات .

النتائج:

الفحص المجهرى:

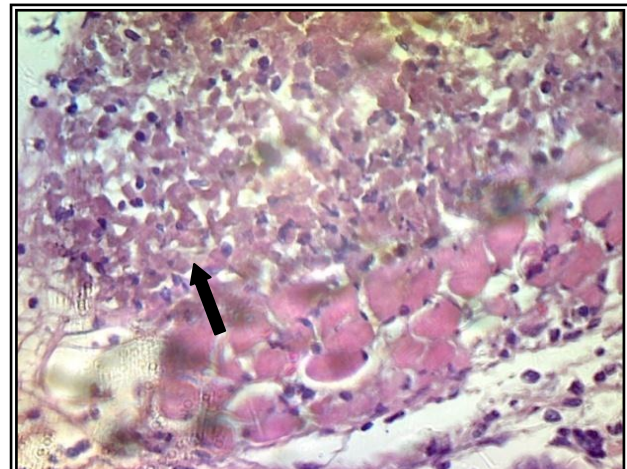
المجموعة الأولى G1 : أظهر الفحص النسيجي لكتلة الورم بعد 48 ساعة وجود كتلة صغيرة من الخلايا الورمية تحت الجلد لمنطقة الغرس مع تجمع بعض الخلايا الورمية في المنطقة كما لوحظ إرتشاح الخلايا الإلتهابية وخصوصاً العدلات والخلايا البلعمية أحادية النواة في المنطقة المحاطة بالورم وكذلك في منطقة الأدمة والنسيج الليفي مابين العضلات الهيكيلية (صورة رقم 1) كما تظهر (الصورة رقم 2) حدوث نزف في منطقة تحت الجلد.

المجموعة الثانية G2 : إن الفحص النسيجي بعد 10 أيام يظهر وجود جزر من كتلة ورمية منغمرة



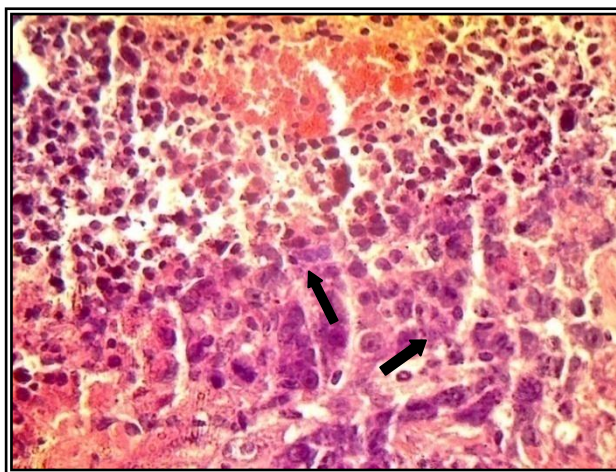
صورة رقم 2:-

الصورة تظهر حدوث نزف في منطقة تحت الجلد في المجموعة الأولى . (H&E stain,400X)



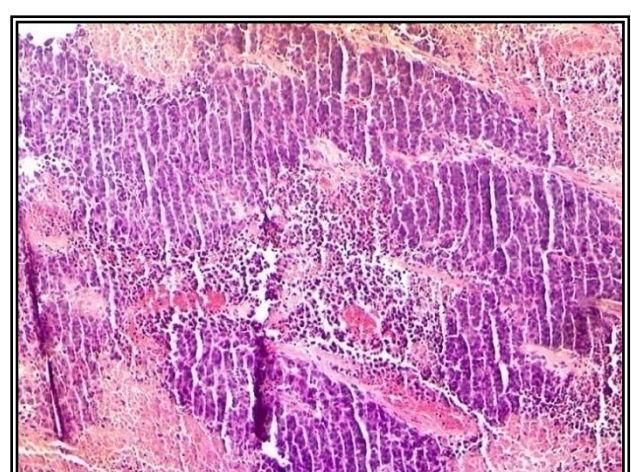
صورة رقم 1:-

المقطع النسيجي يظهر تجمع الخلايا الورمية وإرتشاح الخلايا التهابية حول الورم في المجموعة الأولى . (H&E stain,400X)



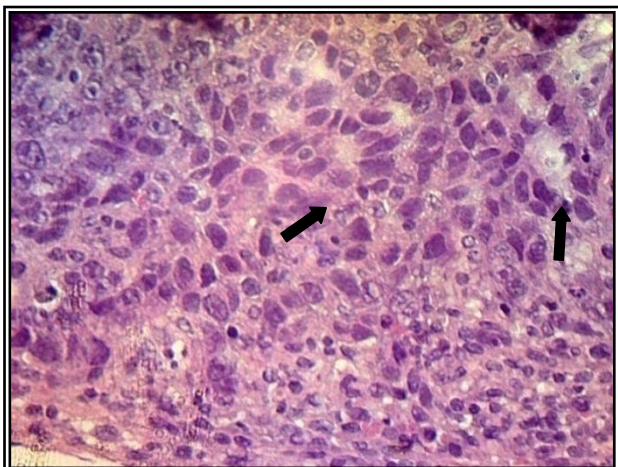
صورة رقم 4:-

يظهر المقطع النسيجي مميزات الخلايا الورمية بشكل واضح وذلك من خلال ترتيب هذه الخلايا بشكل أشرطة وتباعد أحجامها وتکائف صبغتها ووضوح نويتها كما لوحظ هنا الشكل الإنسطاري Mitotic figure بشكل واضح في المجموعة الثانية . (H&E stain,400X)

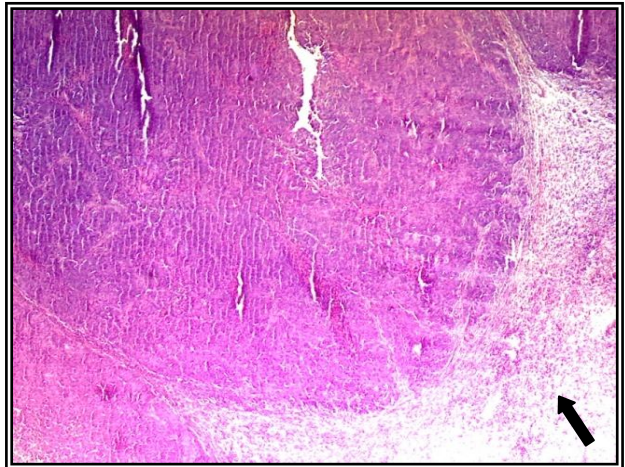


صورة رقم 3:-

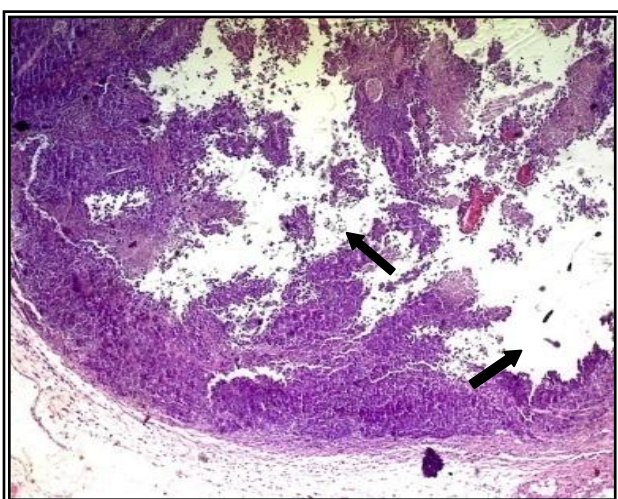
الصورة هنا توضح كتلة الورم مقسمةً بواسطة حواجز ليفية إلى فصوصات وكل فصيص يضم أشرطة من الخلايا الورمية بالإضافة إلى الخلايا التهابية المحاطة بالورم في المجموعة الثانية . (H&E stain,200X)



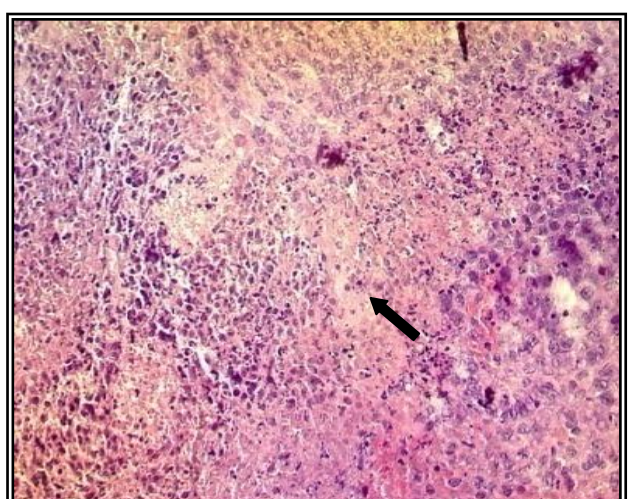
صورة رقم 6:- المقطع النسيجي يوضح ظهور الأنساخ وتكون الخلايا الورمية متميزة بتباين أحجامها وأشكالها بالإضافة إلى تكافؤ صبغتها ووضوح التؤيات وزيادة حجم الأنوية نسبية للسيتوبلازم في المجموعة الثالثة . (H&E stain,400X)



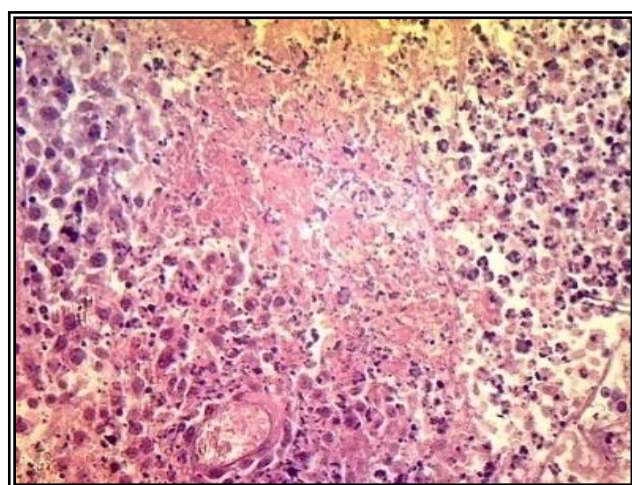
صورة رقم 5:- توضح هذه الصورة كثافة النسيج الليفي المحاط بكتلة الورم في المجموعة الثالثة (H&E stain,100X)



صورة رقم 8:- الصورة هنا تظهر وجود تجاويف واسعة تحتوي على خلايا ميتة بالإضافة إلى وجود النسيج الليفي في المجموعة الرابعة . (H&E stain,100X)



صورة رقم 7 :- الصورة تظهر وجود مناطق واسعة من التخرّ التجليطي وكذلك فقدان الهيكل العام Tissue Architecture وتحلّلها Karyolysis في المجموعة الثالثة . (H&E stain,200X)



صورة رقم 9:- يظهر المقطع النسيجي مناطق واسعة من التخرّ وزيادة الفضلات الخلوية Cellular debris على خلايا التهابية ميتة في المجموعة الرابعة . (H&E stain,200X)

المناقشة:**الدراسة المجهرية النسيجية:**

إن الإستجابة المناعية الموضعية للخلايا الورمية المبنية أو المغروسة أظهرت وجود إرتشاحاً للخلايا المناعية وبالخصوص خلايا العدالت والخلايا الblastية أحادية النواة في الأدمة و MAVIN العضلات الهيكلية تحتها ، كما أظهرت المقاطع النسيجية بعد 48 ساعة من الحقن وجود إحتقان في منطقة الإنبات ، إن كل هذه التغيرات هي مؤشر للإستجابة الإنلتهابية الحادة وهذا يتواجد ذكره (9) . حيث ذكر إن خلايا العدلات يمكن أن تتوارد في مناطق الإنلتهاب الحاد بعد 24 ساعة من الإنلتهاب ويسبب ذلك إحتقاناً في الأوعية الدموية مما يسبب إحمرار المنطقة وإرتفاع درجة حرارتها فضلاً عن تغير نفاذية جدران الأوعية الدموية مما يؤدي إلى الوذمة وتورم المكان وكلها علامات الإنلتهاب الحاد. إن النتائج أعلاه تتوافق تماماً مع ما ذكره (10) .

إن الخلايا الورمية المغروسة أظهرت تجمع في منطقة الغرس مما أدى ذلك إلى ظهور كتل صغيرة تحت الجلد وهذا ما يمكن تفسيره إلى أن الروابط ما بين الخلويات والتي تم تكسير الكثير منها في عملية تحضير الخلايا للإنبات لم تعاود الإرتباط مرة أخرى .

إما الفحص النسيجي بعد 10 أيام فقد أظهر الشكل النموذجي للخلايا الورمية والتي تتميز بتباين أحجامها وتكافؤ صبغتها ووضوح التفريقات وزيادة نسبة حجم الأنوية للهيولى ، وهذا ما أظهره أيضاً (11) .

إن نمو الخلايا الورمية تحت الجلد بشكل ناجح بعد الغرس يمكن أن يعود إلى خواص التكيف الخاص بال النوع كنتيجة للغرس المتكرر في نفس النوع من الفئران وعدم قدرة الجهاز المناعي على تشخيص الخلايا المغروسة كخلايا غريبة حتى وإن لم تستخدم العوامل المخفضة للمناعة . ولقد ذكر باحثون آخرون أن الأيام الأولى من الغرس أظهرت تثبيطاً للخلايا الثانية من خلال عوامل مفرزة من الخلايا الورمية مثل Tumor TGF-B Vascular VEGF Growth Factor

Endothelial Growth Factor (12) .

إن تقسيم كتلة الورم إلى فصوص وظهور الفصوص يتطابق مع ما ذكره (13) من إحتقان الورم المغروس بالخصائص النسيجية المميزة للورم الأصلي . (14,13) .

إن المقاطع النسيجية لكتلة الورم في المجموعة الثانية أظهرت وجود نسبة عالية من الخلايا المتفاوتة وهذا ما يؤكد على ما ذكره (15) من أن الخلايا المتفاوتة المتترسبة كلاً من (CD8+,CD4+) تكون بشكل كبير في السرطانات المنتشرة والسرطانات الغازية ، كما إن الإستجابة الإنلتهابية الحادة تتضمن أيضاً قيام CD8+ Th1CD4+ في تنظيم السمية الخلوية للخلايا السرطانية بشكل مباشر بينما تستقطب بشكل غير مباشر الخلايا المناعية الطبيعية لغرض كبح الورم وهذا ما ذكره (16) .

المصادر:

1. Jemal, A. ; Siegel, R. ; Ward, E. ; Murray, T. ; Xu, J. and Thun, M.J. (2007). Cancer Statistics. CA Cancer J. Clin., 57:43-66.
2. Toshio,N.;Akiko,K.;Yuasa,M.;and David,O. (2008). Mechanism of growth

المختبرية ، أطروحة دكتوراه ، كلية العلوم / الجامعة المستنصرية .

12. Birkeland, S.A.;Storm, H.H.; Lamm, L.U.; Barlow, L.; Blohme I.; Forsberg,B.; Eklund, B.; Fjeldborg, O.; Friedberg, M.; Frodin, L.(1995). Cancer risk after renal transplantation in the Nordic countries. 60:183-189.
13. Steel, G.G.; Courtenay, V.D. and Peckham, M.J. (1983). The response to chemotherapy of a variety of human tumour xenografts. Br. J. Cancer. 47: 001-013.
14. Tyler, K. L.; Clarke, P.; Debiasi, R. L.; Kominsky, D. and Poggioli, G. J. (2001). Reoviruses and the host cell. Trends in Microbiology, 9 (11): 560-564.
15. Wong, PY; Staren, ED; Tereshkova, N.; Braun, D.P.(1998). Functional analysis of tumor-infiltrating leukocytes in breast cancer patients, 76:95-103.
16. Denardo,D.G. and Coussens, L.M. (2007). Balancing immune response: crosstalk between adaptive and innate immune cells during breast cancer progression. Breast Cancer Research, 9 (4): 1-10 .
17. Underwood,J.C.E.(2004).General and Systematic Pathology Int.4th. ed. ;Churchill Livingstone. Edinbergh.
18. Boshoff, C. and Weiss, R.(2002): AIDS-related malignancies. Nat Rev Cancer., 2:373-82.
19. Yadav,J.S.;Thakur,S. and Chadha,P.(2003).Chyawanprash awaleha: a genoprotective agent for Bidi smokers.Int. J. Hum. Genet.,3:33-38.
20. Thatte,U.;Bagadey,S.;and Dahanakar,S.(2000).Modulation of inhibitory effect of blume balsamifera.Biochem., 772(5)1183-89.
3. American Cancer Society, A biotechnology company dedicated to cancer treatment, viewed on 25 January (2006).
4. Coleman, M.P.(2008). Cancer survival in five continents: a worldwide population-based study. Lancet Oncology,9:730–56.
5. Shivjee, K.; Stuti, S.; Usmeet, K.; Nisha, R. and Vandita, K. (2012). A novel exploring approach of cancer chemotherapy by multiple emulsion system. International research journal of pharmacy, 3(2): 13-22.
6. Globocan.(2008). Lyon, International Agency for Research on Cancer, 2010 (<http://globocan.iarc.fr/>, accessed 18 April 2012).
7. Iraqi cancer registry.(2008). Baghdad, Iraqi Cancer Board, Ministry of Health, Iraq.
8. Fox,C.H.,Johnson,F.B.,Whiting,J .,Roller,p.p.(1985).Formaldehyde fixation.Journal of Histochemistry and Cytochemistry, 33 : 845-53.
9. Kumar,V.;Abbas,A.K.;Fausto,N. and Mitchell,R.N. (2007). Robbins Basic Pathology 8thed. Saunders, an imprint of Elsevier Inc. Philadelphia. Pp.:173-223.
10. Cotran,R.S.;Kumar,V. and Collins,T.(1999).Robbins Pathologic Basis of Disease 6th ed.. W.B. Sanders Company,Philadelphia,pp:260-328.
11. الشيباني ، رغد ضياء عبدالجليل (2006) .تأثير مستخلصات الخام والنقية لأوراق نبات الدفلة Neriumoleande على الخلايا الطبيعية وخطوط الخلايا السرطانية النامية في المختبر وفي الفئران

Lieberthal,W.(2001).Role of apoptosis of renal tubular cells in acute renal failure:Therapeutic applications.
Apoptosis,6:83-102.

program-med cell death by medicinal plants. Cell Mol. Biol.,46:199-214.

21. Rana, A;Sathyaranayana,P. and